

Projeto Final MC970 - Paralelização da Técnicas de Meios-Tons

Vinicius P. M. Miguel - RA260731
Henrique Pareda de Souza - RA260497
Raphael Salles Vitor de Souza - RA223641

29 de junho de 2025

Sumário

| | | |
|--------------------|---|----------|
| 1 | Introdução | 1 |
| 2 | Formulação | 1 |
| 2.1 | Formulação | 1 |
| 2.2 | Implementação | 3 |
| 2.2.1 | Execução | 3 |
| 3 | Implementação | 3 |
| 3.1 | Versão Serial | 3 |
| 3.2 | Versão Paralela com OpenMP | 3 |
| 3.3 | Versão em CUDA | 4 |
| 3.4 | Implementação de Métodos Estocásticos | 4 |
| 3.5 | Análise de WSNR | 4 |
| 4 | Speedup | 5 |
| 4.1 | Método estocástico | 6 |
| 5 | Conclusão | 7 |
| Referências | | 8 |

1 Introdução

A técnica de meios-tonos (halftone) consiste na criação de padrões formados por pontos pretos e brancos para reduzir a quantidade de níveis de cinza de uma imagem monocromática. Este método é amplamente empregado por veículos de comunicação impressos, como o jornal (Figura 1), onde podemos representar diversas tonalidades de cinza utilizando apenas tinta preta disposta em forma de círculos de raio variado.

Em meios digitais, o halftone pode ser adaptado para transformar uma imagem monocromática de 256 níveis de cinza para uma com apenas pixels pretos e brancos, sendo muito utilizado para visualização de imagens e impressões.

Além dessas aplicações clássicas, esta técnica pode ser empregada, por exemplo, na criação de mensagens criptografadas [2] e de marcas d'água ocultas em conteúdos autorais [3].

Neste contexto, este exercício visa aplicar algumas técnicas de meios-tonos por difusão de erro muito difundidas na literatura, explorando e discutindo as principais nuances de cada abordagem.

2 Formulação

2.1 Formulação

Dada uma imagem de entrada A com $[a_{min}, \dots, a_{max}]$ níveis de cinza, desejamos aplicar um algoritmo de halftone que construa uma nova imagem B preta e branca, de forma que a imagem transformada fique visualmente parecida com a entrada. Este processo pode ser aplicado tanto para imagens em preto e branco quanto para imagens coloridas, sendo que, no caso das coloridas, o algoritmo é executado separadamente para cada canal de cor.

Este conteúdo está em desenvolvimento. Planejamos alterar a forma de percorrer a matriz para implementar um pipeline que permita que este código seja mais eficiente em GPUs.

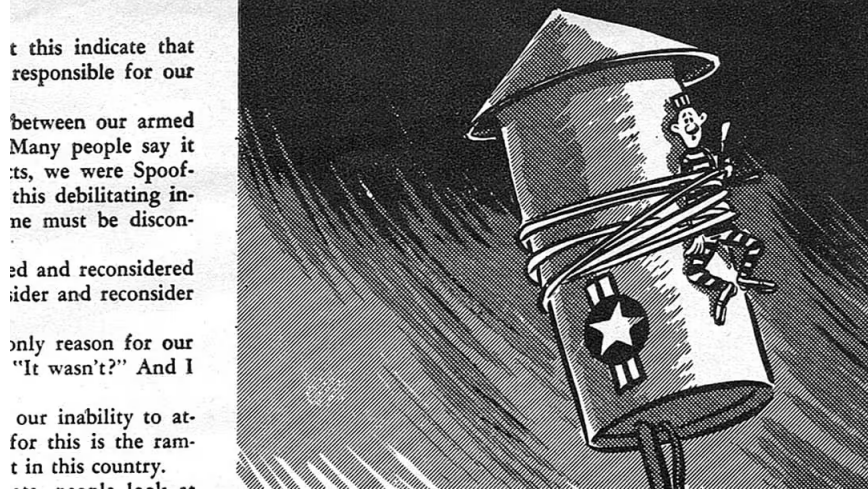


Figura 1: Aplicação de Halftone em materiais jornalísticos [1]

A matriz de difusão armazena o peso que um determinado pixel possui na distribuição do erro. Para cada valor na matriz de difusão, atualizamos A de acordo com a Equação 1, onde x' e y' representam cada coordenada da matriz de difusão. Os métodos que serão apresentados diferem apenas quanto à escolha da matriz de difusão.

$$A(x', y') = A(x', y') + (x', y') \cdot erro \quad (1)$$

No escopo deste projeto, serão abordados 6 métodos de difusão de erros distintos: Floyd e Steinberg; Stevenson e Arce; Burkes; Sierra; Stucki; e Jarvis, Judice e Ninke. As suas respectivas matrizes de difusão de erro estão apresentadas nas Tabelas 1 a 6, onde $f(x, y)$ corresponde a $A(x, y, canal)$.

| | | |
|--------|-----------|--------|
| | $f(x, y)$ | 7 / 16 |
| 3 / 16 | 5 / 16 | 1 / 16 |

Tabela 1: Floyd e Steinberg

| | | | | | |
|----------|----------|-----------|----------|----------|----------|
| | | $f(x, y)$ | | 32 / 200 | |
| 12 / 200 | | 26 / 200 | | 30 / 200 | 16 / 200 |
| | 12 / 200 | | 26 / 200 | | 12 / 200 |
| 5 / 200 | | 12 / 200 | | 12 / 200 | 5 / 200 |

Tabela 2: Stevenson e Arce

| | | | | |
|--------|--------|-----------|--------|--------|
| | | $f(x, y)$ | 8 / 32 | 4 / 32 |
| 2 / 32 | 4 / 32 | 8 / 32 | 4 / 32 | 2 / 32 |

Tabela 3: Burkes

| | | | | |
|--------|--------|-----------|--------|--------|
| | | $f(x, y)$ | 5 / 32 | 3 / 32 |
| 2 / 32 | 4 / 32 | 5 / 32 | 4 / 32 | 2 / 32 |
| | 2 / 32 | 3 / 32 | 2 / 32 | |

Tabela 4: Sierra

| | | $f(x, y)$ | 8 / 42 | 4 / 42 |
|--------|--------|-----------|--------|--------|
| 2 / 42 | 4 / 42 | 8 / 42 | 4 / 42 | 2 / 42 |
| 1 / 42 | 2 / 42 | 4 / 42 | 2 / 42 | 1 / 42 |

Tabela 5: Stucki

| | | $f(x, y)$ | 7 / 48 | 5 / 48 |
|--------|--------|-----------|--------|--------|
| 3 / 48 | 5 / 48 | 7 / 48 | 5 / 48 | 3 / 48 |
| 1 / 48 | 3 / 48 | 5 / 48 | 3 / 48 | 1 / 48 |

Tabela 6: Jarvis, Judice e Ninke

2.2 Implementação

2.2.1 Execução

O código referente à implementação do halftone pode ser encontrado em `1_halftoning.py`, recebendo como parâmetro no terminal o caminho até a entrada. O programa aceita mais de uma imagem de entrada, basta passar os respectivos caminhos em sequência.

3 Implementação

Neste capítulo, apresentamos as três versões do código desenvolvidas para fins comparativos: uma versão serial, uma versão paralelizada utilizando OpenMP e uma versão implementada em CUDA. Cada uma dessas versões será explicada em detalhes nas subseções a seguir.

3.1 Versão Serial

A versão serial do código, localizada no arquivo `serial.cpp`, foi implementada como ponto de partida para o desenvolvimento das versões paralelas. Nesta implementação, o algoritmo é executado de forma sequencial, processando os dados de entrada um elemento por vez. Essa abordagem é simples e direta, mas não aproveita os recursos de paralelismo disponíveis em arquiteturas modernas.

O código foi estruturado para ser claro e modular, facilitando a compreensão e a posterior paralelização. Ele realiza as seguintes etapas principais:

- Leitura dos dados de entrada.
- Processamento sequencial dos dados, aplicando a técnica de meios-tons utilizando difusão de erro.
- Escrita dos resultados no arquivo de saída.

O algoritmo de difusão de erro utilizado na versão serial é configurado para suportar diferentes métodos de dithering, como Floyd-Steinberg, Burkes, Sierra, entre outros. A escolha do método é feita com base em um parâmetro de entrada, permitindo flexibilidade na execução.

Essa versão serve como base para medir o desempenho inicial e comparar os ganhos obtidos com as versões paralelas. O código completo da implementação pode ser encontrado abaixo:

3.2 Versão Paralela com OpenMP

A versão paralela utilizando OpenMP foi desenvolvida a partir da versão serial, com o objetivo de explorar o paralelismo em CPUs multicore. O código-fonte desta versão é essencialmente o mesmo da versão serial, diferindo apenas pela inclusão de diretivas de paralelização do OpenMP, que são ativadas em tempo de compilação. Os resultados e o impacto dessas alterações serão discutidos na Seção 4.

3.3 Versão em CUDA

A versão em CUDA, que será implementada no futuro, tem como objetivo explorar o paralelismo massivo oferecido por GPUs. Esta subseção será preenchida com os detalhes da implementação assim que o código estiver concluído.

3.4 Implementação de Métodos Estocásticos

Além das versões mencionadas anteriormente, também foram implementados métodos estocásticos para avaliar como o uso de aleatoriedade pode impactar o resultado visual da técnica de meios-tons. Esses métodos introduzem variações aleatórias no processo de difusão de erro, com o objetivo de verificar se a qualidade visual das imagens processadas é significativamente alterada.

A implementação dos métodos estocásticos foi realizada adicionando um fator de ruído controlado ao cálculo da difusão de erro. Esse fator é gerado utilizando uma distribuição uniforme, garantindo que o comportamento do algoritmo permaneça previsível e reproduzível. As etapas principais dessa abordagem são as seguintes:

- Geração de um valor aleatório para cada pixel, dentro de um intervalo predefinido.
- Ajuste do erro difundido com base no valor aleatório gerado.
- Continuação do processamento com o erro ajustado.

Para as versões paralelas, foram adicionadas flags específicas para habilitar o suporte aos métodos estocásticos:

- Na versão OpenMP, a flag `-stochastic` foi utilizada durante a compilação para ativar o código relacionado aos métodos estocásticos. O comportamento estocástico pode ser controlado por um parâmetro de entrada, permitindo escolher entre dithering estocástico (1) ou padrão (0), sendo o padrão o valor 1.
- Na versão CUDA, a flag `-stochastic` também foi empregada, garantindo que o comportamento estocástico fosse incorporado ao kernel CUDA. Assim como na versão OpenMP, o parâmetro de entrada permite alternar entre dithering estocástico (1) ou padrão (0), com o valor padrão definido como 1.

Apesar de introduzir aleatoriedade no processo, os resultados preliminares indicam que o impacto visual é mínimo, especialmente em imagens com alta resolução. Isso sugere que os métodos estocásticos podem ser uma alternativa viável para cenários onde a uniformidade do padrão de dithering não é uma prioridade.

A análise detalhada dos resultados obtidos com os métodos estocásticos será apresentada na Seção 4, onde compararemos a qualidade visual e o desempenho em relação às outras versões do código.

3.5 Análise de WSNR

Para avaliar a qualidade das imagens processadas pelas diferentes versões do código, utilizamos o script `wsnr.py`, que calcula a métrica WSNR (Weighted Signal-to-Noise Ratio). Essa métrica é amplamente utilizada para medir a qualidade de imagens processadas, levando em consideração o ruído introduzido durante o processamento.

A seguir, apresentamos os resultados obtidos para cada método (serial, OpenMP e CUDA), organizados por tamanho de imagem:

Tabela de Resultados WSNR por Método e Tamanho de Imagem

| Tamanho | Imagen | CUDA (dB) | OpenMP (dB) | Serial (dB) |
|-------------------|----------|---------------|---------------|---------------|
| Small | small_1 | 0.6595 | -0.1043 | -0.1279 |
| | small_2 | 1.1523 | 0.6237 | 0.5631 |
| Medium | medium_1 | 1.2968 | 0.8956 | 0.9051 |
| | medium_2 | 1.2322 | 0.9434 | 0.8777 |
| | medium_3 | 0.6089 | 0.2502 | 0.2566 |
| | medium_4 | 0.7146 | 0.3194 | 0.2924 |
| | medium_5 | 1.7778 | 0.7717 | 0.7879 |
| | medium_6 | 1.3159 | 0.8904 | 0.8921 |
| | medium_7 | 1.2963 | 0.7031 | 0.6980 |
| | medium_8 | -0.2986 | -0.8768 | -0.8693 |
| Large | large_1 | 0.0847 | -0.0862 | -0.0905 |
| | large_2 | 1.6083 | 0.8550 | 0.8642 |
| | large_3 | 1.6087 | 0.8773 | 0.8754 |
| | large_4 | 0.7675 | 0.7062 | 0.6588 |
| | large_5 | -0.3377 | -0.8666 | -0.8857 |
| Xlarge | xlarge_1 | 1.6322 | 0.8531 | 0.8586 |
| | xlarge_2 | 1.6904 | 0.9132 | 0.9014 |
| | xlarge_3 | 1.6817 | 0.8648 | 0.8632 |
| | xlarge_4 | 1.6876 | 0.9090 | 0.9010 |
| | xlarge_5 | 0.7856 | 0.4889 | 0.4997 |
| | xlarge_6 | 2.3256 | 1.3715 | 1.3500 |
| | xlarge_7 | 0.8412 | 0.1943 | 0.2099 |
| Média WSNR | | 1.0969 | 0.5226 | 0.5128 |

Tabela 7: Resultados WSNR por Método e Tamanho de Imagem

Interpretação dos Resultados

A métrica WSNR indica a relação entre o sinal e o ruído introduzido no processamento das imagens. Valores mais altos de WSNR indicam menor degradação da qualidade da imagem. Observa-se que a versão CUDA apresenta a maior média de WSNR (1.0969 dB), seguida pela versão OpenMP (0.5226 dB) e pela versão serial (0.5128 dB). Isso sugere que a versão CUDA não apenas é mais eficiente em termos de desempenho, mas também preserva melhor a qualidade das imagens processadas.

4 Speedup

Nesta seção, apresentamos as métricas de Speedup obtidas durante os experimentos. O Speedup é calculado como a razão entre o tempo de execução da versão serial e o tempo de execução das versões paralelas (OpenMP e CUDA). Foram consideradas duas abordagens principais:

- **Speedup por Método:** Para cada método de dithering (*FloydSteinberg*, *StevensonArce*, *Burkes*, *Sierra*, *Stucki*, *JarvisJudiceNinke*), calculamos o Speedup médio considerando todas as imagens processadas.
- **Speedup por Tamanho de Imagem:** Para cada tamanho de imagem (e.g., 1920x1080, 1280x720), calculamos o Speedup médio considerando todos os métodos de dithering aplicados. Os tamanhos de imagem foram classificados em quatro categorias:
 - **Pequeno (small):** Imagens com largura e altura menores ou iguais a 256 pixels.
 - **Médio (medium):** Imagens com largura e altura menores ou iguais a 512 pixels.
 - **Grande (large):** Imagens com largura e altura menores ou iguais a 1024 pixels.
 - **Muito Grande (xlarge):** Imagens com largura ou altura maiores que 1024 pixels.

Os resultados obtidos estão destacados nas Tabelas 8 e 9. Os campos em vermelho indicam os valores que ainda precisam ser preenchidos com os dados experimentais.

Tabela 8: Resultados de Speedup por Método

| Método | Serial (s) | OpenMP (s) | CUDA (s) | Speedup OpenMP | Speedup CUDA |
|-------------------|------------|------------|----------|----------------|--------------|
| FloydSteinberg | x.xx | x.xx | x.xx | x.xx | x.xx |
| StevensonArce | x.xx | x.xx | x.xx | x.xx | x.xx |
| Burkes | x.xx | x.xx | x.xx | x.xx | x.xx |
| Sierra | x.xx | x.xx | x.xx | x.xx | x.xx |
| Stucki | x.xx | x.xx | x.xx | x.xx | x.xx |
| JarvisJudiceNinke | x.xx | x.xx | x.xx | x.xx | x.xx |

Tabela 9: Resultados de Speedup por Tamanho de Imagem

| Tamanho da Imagem | Serial (s) | OpenMP (s) | CUDA (s) | Speedup OpenMP | Speedup CUDA |
|-------------------|------------|------------|----------|----------------|--------------|
| 800x600 | x.xx | x.xx | x.xx | x.xx | x.xx |
| 1280x720 | x.xx | x.xx | x.xx | x.xx | x.xx |
| 1920x1080 | x.xx | x.xx | x.xx | x.xx | x.xx |

Tabela 10: Resultados de Eficiência por Método

| Método | Eficiência OpenMP | Eficiência CUDA |
|-------------------|-------------------|-----------------|
| FloydSteinberg | x.xx | x.xx |
| StevensonArce | x.xx | x.xx |
| Burkes | x.xx | x.xx |
| Sierra | x.xx | x.xx |
| Stucki | x.xx | x.xx |
| JarvisJudiceNinke | x.xx | x.xx |

Tabela 11: Resultados de Eficiência por Tamanho de Imagem

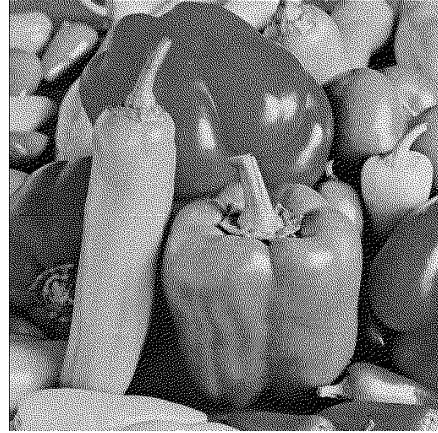
| Tamanho da Imagem | Eficiência OpenMP | Eficiência CUDA |
|-------------------|-------------------|-----------------|
| 800x600 | x.xx | x.xx |
| 1280x720 | x.xx | x.xx |
| 1920x1080 | x.xx | x.xx |

4.1 Método estocástico

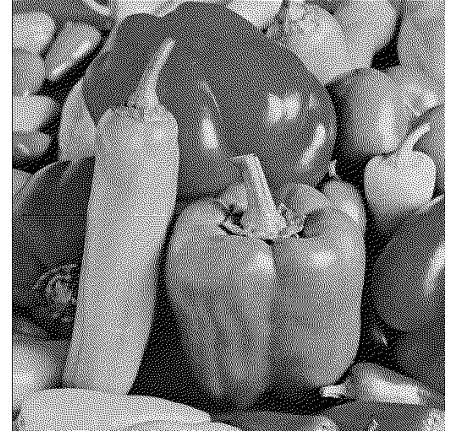
Os códigos de OpenMP e CUDA possuíam uma flag que permitia a utilização de um método estocástico. Esse método introduz variações aleatórias no processo de dithering, o que pode impactar os resultados de Speedup e Eficiência. Durante os experimentos, observamos que o uso do método estocástico gerou diferenças nos tempos de execução e nos resultados finais. No entanto, como o objetivo do processo de dithering é criar um efeito visual na imagem, essas variações não comprometem a qualidade visual do resultado, tornando válida a sua utilização.



(a) Imagem Original



(b) OpenMP



(c) OpenMP Estocástico

Figura 2: Comparação visual entre as imagens: original, OpenMP e OpenMP com método estocástico.

Conferir se a implementacao do estocástico está correta

Os resultados obtidos com o método estocástico foram considerados satisfatórios. Apesar das variações introduzidas no processo de dithering, a qualidade visual das imagens geradas permaneceu consistente com os objetivos do experimento. A Figura 2 ilustra que as diferenças visuais entre as imagens processadas com e sem o método estocástico são mínimas, reforçando a validade do uso dessa abordagem nos experimentos realizados.

Tabela 12: Resultados de Speedup para o Método Estocástico

| Método | Serial (s) | OpenMP (s) | CUDA (s) | Speedup OpenMP | Speedup CUDA |
|-------------------|------------|------------|----------|----------------|--------------|
| FloydSteinberg | x.xx | x.xx | x.xx | x.xx | x.xx |
| StevensonArce | x.xx | x.xx | x.xx | x.xx | x.xx |
| Burkes | x.xx | x.xx | x.xx | x.xx | x.xx |
| Sierra | x.xx | x.xx | x.xx | x.xx | x.xx |
| Stucki | x.xx | x.xx | x.xx | x.xx | x.xx |
| JarvisJudiceNinke | x.xx | x.xx | x.xx | x.xx | x.xx |

Tabela 13: Resultados de Eficiência para o Método Estocástico

| Método | Eficiência OpenMP | Eficiência CUDA |
|-------------------|-------------------|-----------------|
| FloydSteinberg | x.xx | x.xx |
| StevensonArce | x.xx | x.xx |
| Burkes | x.xx | x.xx |
| Sierra | x.xx | x.xx |
| Stucki | x.xx | x.xx |
| JarvisJudiceNinke | x.xx | x.xx |

5 Conclusão

Referências

- [1] C. Sperandio, “Setting the right tone.” <https://www.retrosupply.co/blogs/tutorials/setting-the-right-tone>.
- [2] Z. Wang, G. R. Arce, and G. Di Crescenzo, “Halftone visual cryptography via error diffusion,” *IEEE Transactions on Information Forensics and Security*, vol. 4, no. 3, pp. 383–396, 2009.
- [3] M. S. Fu and O. Au, “Data hiding watermarking for halftone images,” *IEEE Transactions on Image Processing*, vol. 11, no. 4, pp. 477–484, 2002.